

Anlage 4.1

Berechnungsergebnisse zu Setzungen und Verformungen

Querschnitt D-D'

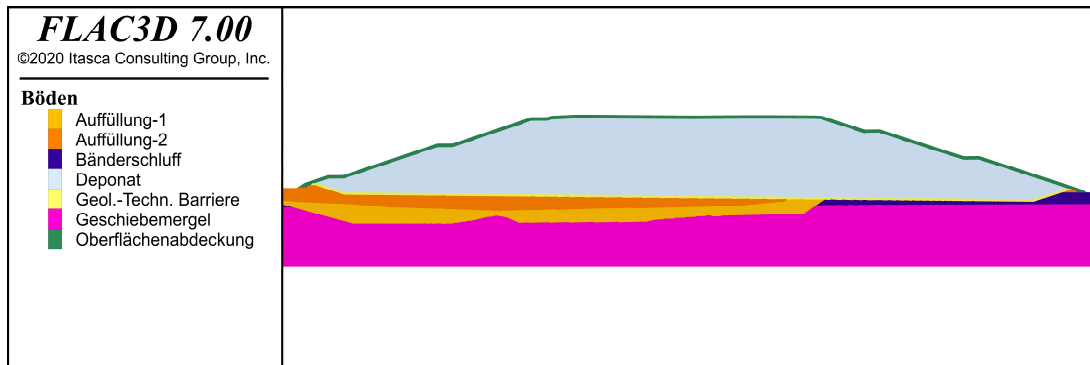


Abbildung 1: Umsetzung der Geometrie des Querschnittes D-D' im Modell. Modelliert wurde der komplette Querschnitt, dargestellt ist der Bereich des Deponiekörpers (Stat. 140 m bis Stat. 560 m).

Tabelle 1: Kennwerte der Böden für die geotechnische Berechnung des Querschnittes D-D'.

Boden	γ_n	ϕ	ψ	c	E_s	ν
	[kN/m ³]	[°]	[°]	[kN/m ²]	[MN/m ²]	[-]
Oberflächenabdeckung	20,0	22,0	0,0	8,0	15,0	0,38
Deponiekörper	20,0	22,0	0,0	5,0	15,0	0,38
Geol.-Techn. Barriere	20,5	22,0	0,0	8,0	15,0	0,38
Auffüllung-2	20,0	22,0	0,0	5,0	27,0	0,38
Auffüllung-1	20,0	22,0	0,0	5,0	8,0	0,38
Bänderschlufluff	20,0	21,0	0,0	20,0	15,0	0,39
Geschiebemergel	23,0	33,0	0,0	18,0	9,5	0,31

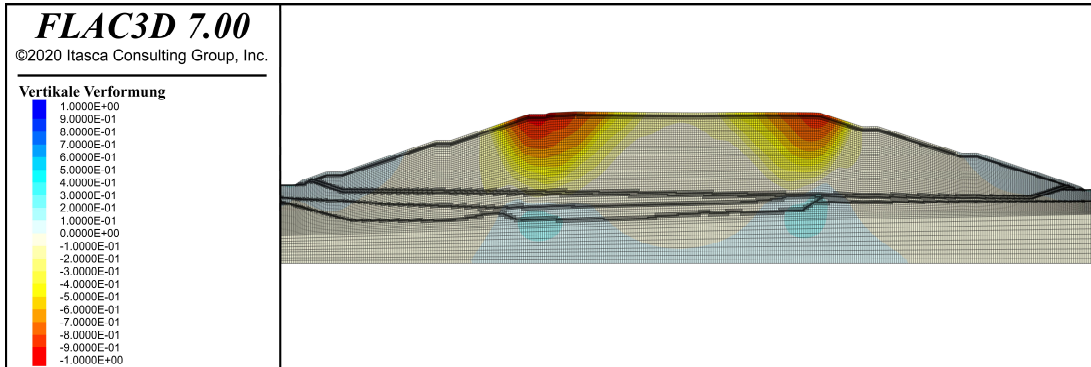


Abbildung 2: Konturdarstellung der Vertikalen Verformung.

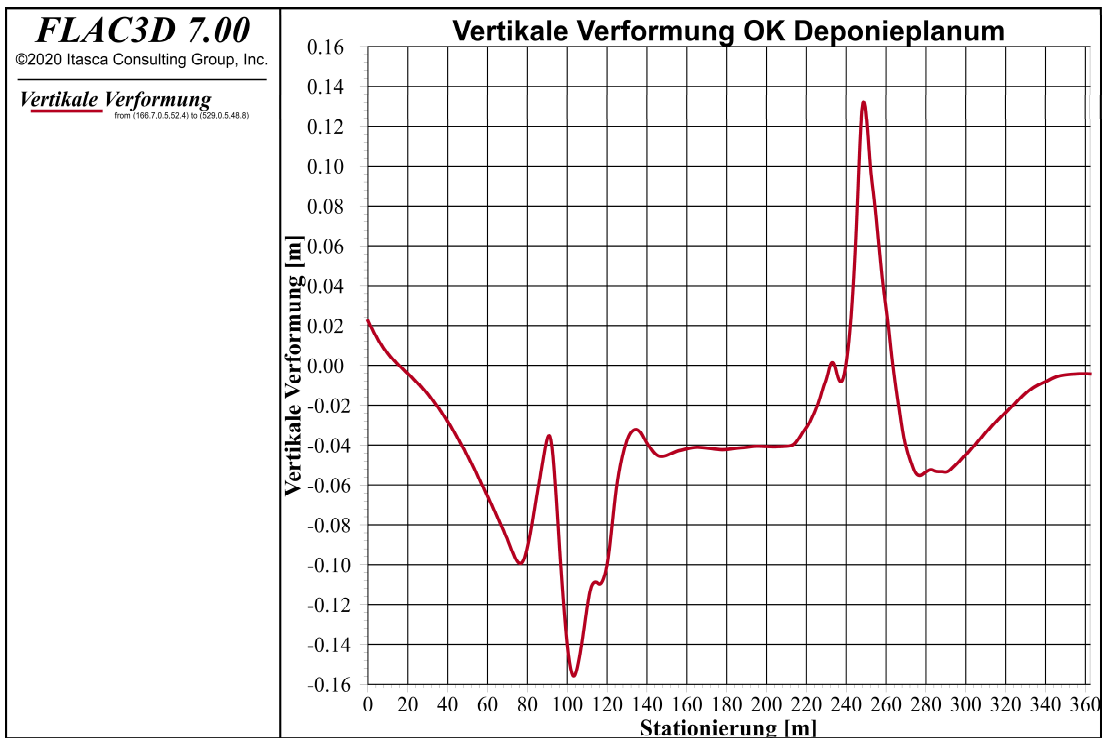


Abbildung 3: Vertikale Verformung an der Oberfläche des Deponieplanums. Die Stationierung 0,0 m entspricht der Stationierung 166,7 m des Querschnittes D-D'.

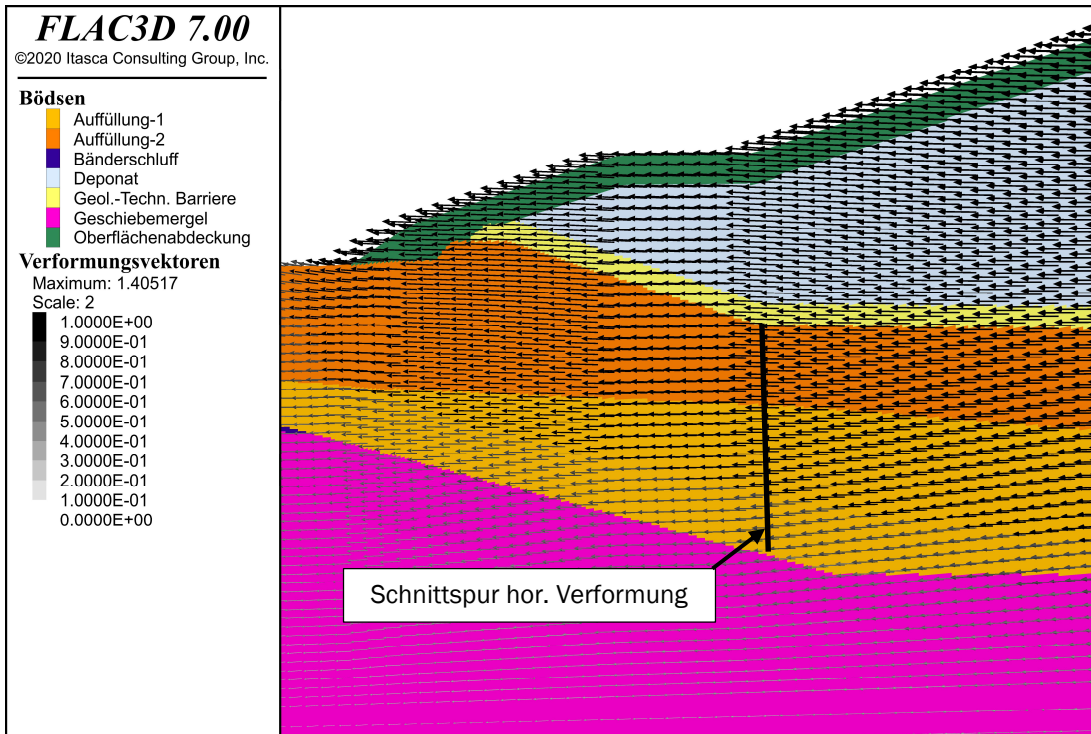


Abbildung 4: Darstellung der Verformungsvektoren für den linken Rand der Deponie bei Querschnittes D-D'. Die horizontale Verformung in der Auffüllung entlang der Schnittspur (schwarze Linie) ist in Abbildung 5 dargestellt.

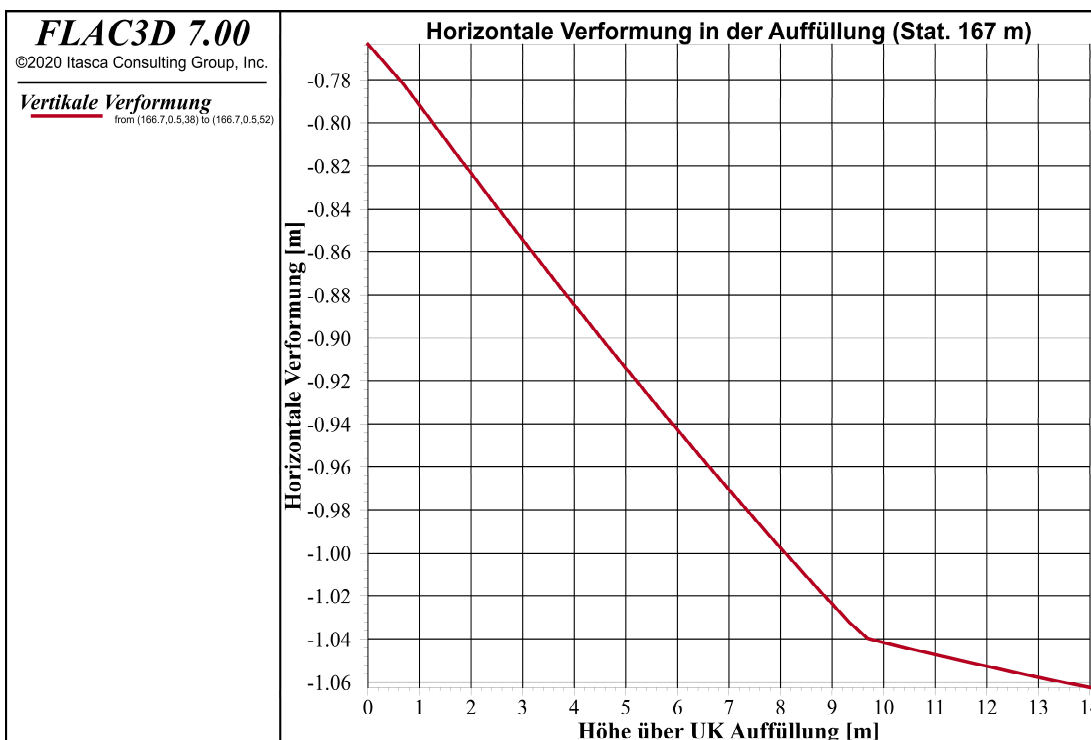


Abbildung 5: Horizontale Verformung von der Unterkante der Auffüllung bis zur Oberkante des Deponieplans bei Stationierung 167,0 m des Querschnittes D-D'.

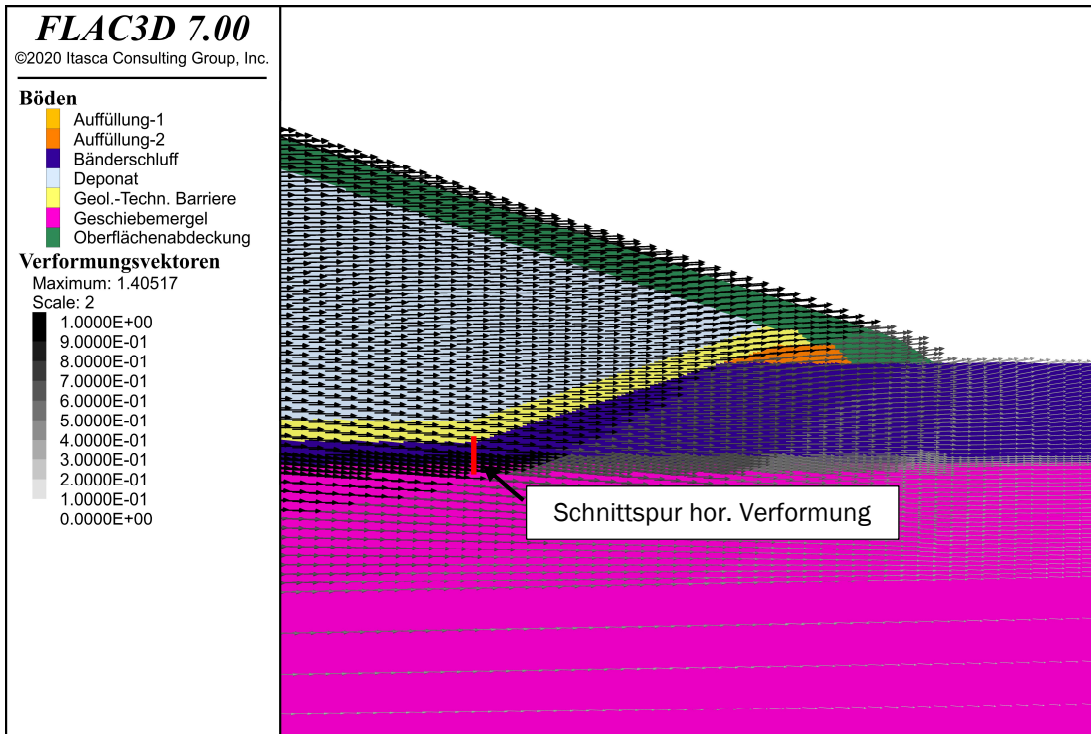


Abbildung 6: Darstellung der Verformungsvektoren für den rechten Rand der Deponie bei Querschnittes D-D'. Die horizontale Verformung im Bänderschlufl entlang der Schnittspur (rote Linie) ist in Abbildung 7 dargestellt.

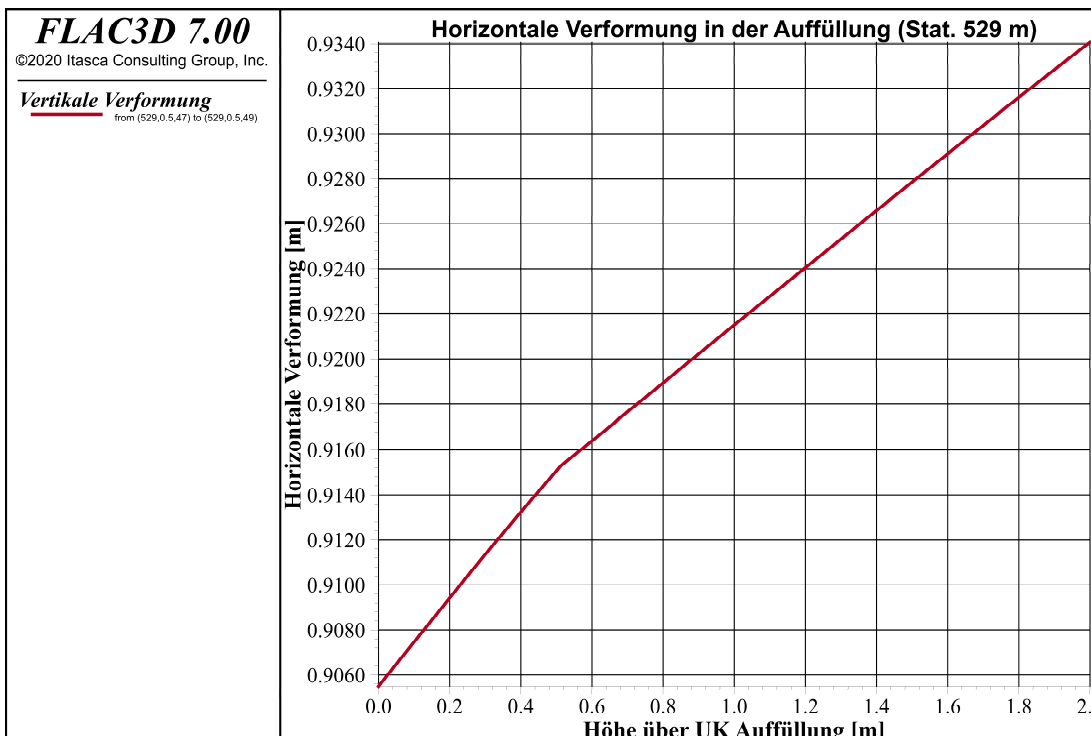


Abbildung 7: Horizontale Verformung von der Unterkante der Auffüllung bis zur Oberkante des Deponieplans bei Stationierung 529,0 m des Querschnittes D-D'.